1. ヒトパレコウイルス受容体 MYADM の同定

渡 邊 香奈子¹⁾. 藤 井 雅 寛²⁾

- 1) 新潟大学大学院保健学研究科
- 2) 新潟大学大学院医歯学総合研究科

はじめに

ヒトパレコウイルス (human parechovirus, PeV-A) は、ピコルナウイルス科パレコウイルス属に分類される一本鎖 (+鎖) RNA をゲノムにもつウイルスである. 現時点で、19種類の遺伝子型 (PeV-A1 \sim A19) が同定されているが、そのうち6種類 (PeV-A1 \sim A6) がウイルスとして分離され、それ以外は核酸によって検出された(https://www.picornaviridae.com/paavivirinae/parechovirus/parechovirus_a/parechovirus_a_seqs.htm).

臨床検体から検出される頻度が高いのは PeV-A1 と PeV-A3 である (図1). PeV-A1 は毎年検出されるが、大きな流行は観察されていない。 PeV-A1 は夏から秋にかけて最も多く検出されるが、年間を通して検出され、多い年は年間 100 例前後である。一方、PeV-A3 は 2014 年までは $2 \sim 3$ 年ごとに流行を繰り返し、 $6 \sim 8$ 月に集中して検出され、流行年には年間 300 例前後が検出されていたが、2016 年以降は 4 年連続で PeV-A3 が検出され、5 月と 9 月に検出が増加しており、PeV-A3 感染の流行が変化した可能性が示唆される。

PeV-A3を含む PeV-A の多くの遺伝子型は、主に乳幼児に感染し、胃腸炎、上・下気道感染症、発疹などの概して軽度の感染症を引き起こす。ところが、PeV-A3は、他の遺伝子型とは異なり、新生児や早期乳児に敗血症や髄膜脳炎などの重篤な感染症を引き起こすことがあり¹⁾、神経学的後遺症や死亡例も報告されている¹⁾、しかしながら、

連絡先

₹ 951-8518

新潟県新潟市中央区旭町通2番町746番地 新潟大学 大学院保健学研究科

TEL/FAX: 025-227-0953

E-mail: kwatanabe@clg.niigata-u.ac.jp

PeV-A3 感染症が他の PeV-A 感染症よりも重症化する分子メカニズムは不明である.

ウイルス受容体は細胞や組織におけるウイルスの感染特異性に関与し、ウイルスの病原性に重要な役割を果たしている。我々は、PeV-A3 感染症に特異的な重症化機構を解明するため、PeV-A3 受容体の同定を試み、MYADM (myeloid-associated differentiation marker, 骨髄関連分化マーカー) をヒトパレコウイルスの受容体と同定した $^{2)}$.

各種培養細胞株の PeV-A3 感受性

ヒト由来 8 株, サル, ハムスター, マウス由来 8 1 株の合計 11 種類の培養細胞株について, PeV-A3 感受性を検討した. ヒト細胞株では, HuTu-80 細胞, HeLa 細胞, C33A 細胞, SW620 細胞, SH-SY5Y 細胞, 293T 細胞の 7 株が PeV-A3 に感受性を示し, 中でもヒト十二指腸由来のHuTu-80 細胞が最も感受性が高かった. 一方, Saos2 細胞と Jurkat 細胞は PeV-A3 に対して非感受性であった(図2).

サル由来のLLC-MK2 細胞は HuTu-80 細胞と同等の高い PeV-A3 感受性を示したが、ハムスター由来の BHK-21 細胞とマウス由来の NIH/3T3 細胞は PeV-A3 に感受性を示さなかった。これらの結果は、PeV-A3 はヒトおよびサルの細胞には感染するが、げっ歯類(ハムスター、マウス)の細胞には感染しないこと、また PeV-A3 がヒトの様々な組織由来の細胞株に感染することを示している。

PeV-A3 受容体分子の単離

PeV-A3 感染に関与する細胞遺伝子を同定するため、CRISPR/Cas9 を用いてゲノムワイドなノックアウトスクリーニングを行った。このスクリーニングを成功させるためには、PeV-A3 感染によって完全に死滅する PeV-A3 高感受性細胞を使用することが有効である。そこで、スクリーニングに HuTu-80 細胞を使用した。

HuTu-80 細胞にヒトゲノムノックアウトライブラリー を組み込んだレンチウイルスを感染させ、さらに、

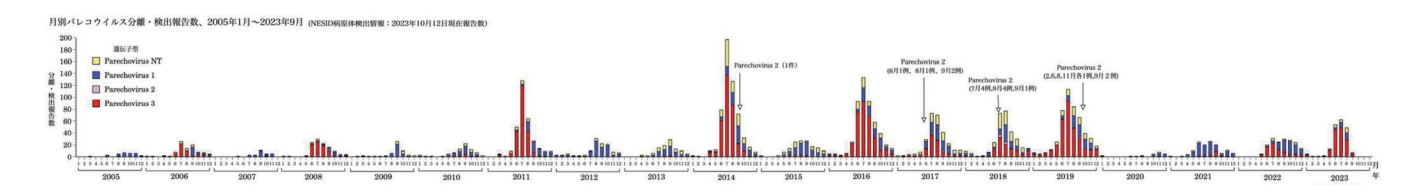


図 1 日本における PeV-A の分離・検出報告数 (2023 年 10 月 12 日現在)

IASR Topics グラフ (パレコウイルス) より転載.

https://www.niid.go.jp/niid/images/iasr/rapid/topics/parecho/160817/parecho1_231012.gif

由来		細胞	PeV-A3の産生
ヒト	十二指腸腺癌	HuTu-80	+++
	子宮頸癌	HeLa	+ +
	子宮頸癌	C33A	+
	大腸腺癌	SW620	+
	神経芽細胞種	SH-SY5Y	+
	胚性腎	293T	+
	急性T細胞白血病	Jurkat	_
	骨肉腫	Saos2	_
サル 腎臓		LLC-MK2	+++
ハムスター	腎臓	BHK-21	_
マウス	胎児	NIH/3T3	_

図2 各種培養細胞株の PeV-A3 の感受性

+/ - は PeV-A3 の産生の有無を示す. + の数が多いほど PeV-A3 産生量が多いことを示す.

PeV-A3 を感染させた. 合計 3 回の PeV-A3 感染後, 生残細胞を回収した (図 3). 生残細胞中のノックアウト遺伝子に対応する gRNA を, 次世代シークエンス解析で定量したところ, 最もノックアウトされた遺伝子は MYADM であった. そこで, PeV-A3 感染における MYADM の役割を解析した.

PeV-A3 はヒト MYADM を発現する細胞に感染し, 増殖する

PeV-A3 感受性の高い HuTu-80 細胞と感受性の低い 293T 細胞で MYADM 遺伝子をノックアウトし、ノックアウト細胞の PeV-A3 感染を検討した。 MYADM をノックアウトした HuTu-80 細胞と 293T 細胞には PeV-A3 は感染せず、感染性ウイルスの産生は観察されなかった(図 4a). 一方、PeV-A3 は BHK-21 細胞には感染しないが、

ヒト MYADM 遺伝子を導入した BHK-21 細胞 (BHK-MYADM, BHK-NF-MYADM, BHK-CF-MYADM) に、PeV-A3 は感染性を示し、感染性ウイルスの産生が観察された (図 4b). これらの結果は、MYADM が PeV-A3 の感染および増殖に必須であることを示している.

次に、PeV-A3 蛋白質が MYADM に結合するかどうかを検討した。N 末端または C 末端に FLAG タグを付加したヒト MYADM 蛋白質(NF-MYADM, CF-MYADM)を発現する BHK 細胞と PeV-A3 を 4℃で 1 時間反応させた。細胞を洗浄した後、これらの細胞から細胞抽出液を調整し、FLAG 抗体を用いて MYADM 蛋白質を免疫沈降した。MYADM(NF-MYADM または CF-MYADM)蛋白質とPeV-A3の VPO 蛋白質との結合が検出された(図 4b)。この MYADM と VPO との結合は、細胞とウイルスを 4℃で 1 時間反応させた後、37℃で 15 分または 30 分間反応させ

pp.183-188, 2023) 185

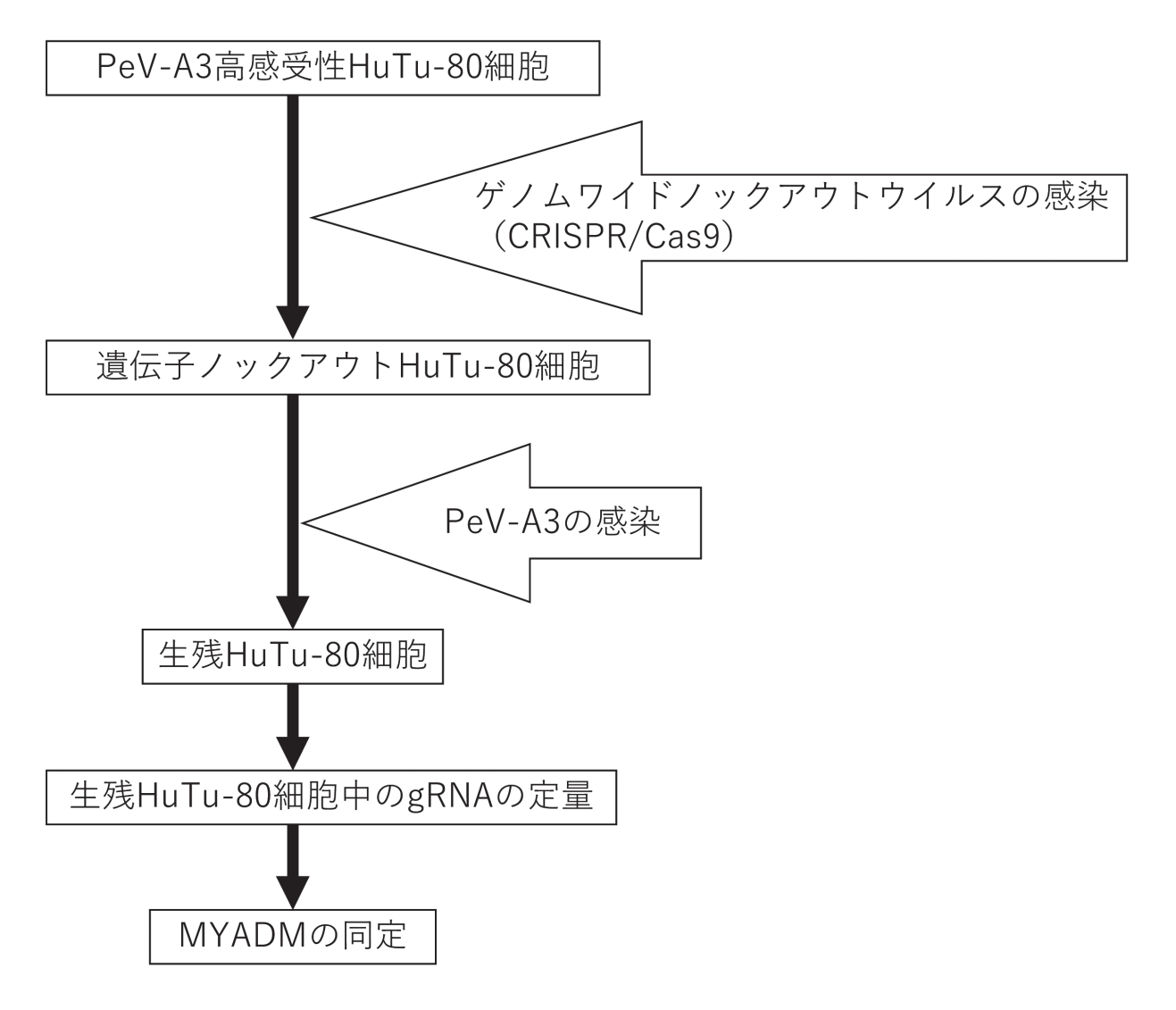


図3 PeV-A3 受容体分子同定の流れ

ると増強された. これらの結果は、PeV-A3の VP0 タンパク質が細胞表面で MYADM に結合することを示している

一方、興味深いことに、VP0蛋白質は、ヒト MYADM 発現の有無に関わらず、BHK 細胞膜表面の未知の分子と結合することが示された $^{2)}$. これらの結果は、PeV-A3 の VP0 蛋白質が BHK 細胞表面の未知の分子と結合し、この結合が PeV-A3 の感染に関与している可能性を示唆している.

MYADM の 4 番目の細胞外領域は PeV-A3 の 感染に必須である

MYADM は8回膜貫通型タンパク質で、4つの細胞外領域を持つ(**図5a**). MYADM の4番目の細胞外領域(第4細胞外領域)が最も長いことから、この第4細胞外領域が VPO と結合するという仮説を立てた、まず、マウス

MYADM 遺伝子を BHK-21 細胞で発現させた細胞 (MF-MYADM) に PeV-A3 が感染しないことを確認した (図6). ヒト MYADM とマウス MYADM のアミノ酸配 列を比較したところ、マウス MYADM には、ヒト MYADMとは異なる10個のアミノ酸置換と1つの挿入配 列があることが明らかになった(図5b). そこで、ヒト MYADM. マウス MYADM あるいは第4細胞外領域のみ を置換したキメラ MYADM (NF-MYADM, MF-MYADM, F-HMH, F-MHM) を発現する BHK 細胞を用いて (図 5c), PeV-A3の感染性を調べた. PeV-A3はヒト MYADMの 第4細胞外領域を持つ細胞 (BHK-NF-MYADM と BHK-F-MHM) に感染したが、マウス MYADM の第4細胞外 領域を持つ細胞 (BHK-MF-MYADM と BHK-F-HMH) に は感染しなかった (**図 6**). これらの結果は、ヒト MYADM の第4細胞外領域がPeV-A3の感染に必須であることを示 している.

2		
а	細胞	PeV-A3の産生
	HuTu-80	+
	HuTu-80-MYADM-K01.12	_
	HuTu-80-MYADM-KO2.24	_
	HuTu-80-MYADM-KO3.3	_
	293T	+
	293T-MYADM-K01.33	_
	293T-MYADM-K02.19	_
	293T-MYADM-KO3.14	_

b			
D	細胞	PeV-A3の産生	PeV-A3 VP0タンパク質との結合
	BHK-CONT	_	_
	BHK-MYADM	+	ND
	BHK-NF-MYADM	+	+
	BHK-CF-MYADM	+	+

図 4 PeV-A3 はヒト MYADM を発現する細胞に感染し、増殖する

a PeV-A3 はヒト MYADM をノックアウトしたヒト細胞には感染しない。+/-は PeV-A3 の産生の有無を示す。b PeV-A3 はヒト MYADM を強制発現したハムスター BHK 細胞に感染し、これらの細胞で MYADM は VPO タンパク質に結合する。+/-は PeV-A3 の産生の有無。またはウイルスタンパク質と MYADM との結合の有無を示す。

次に、ヒト MYADM とマウス MYADM のキメラ MYADM 遺伝子を発現した BHK 細胞を用いて、前述の PeV-A3 との結合実験を行った。ヒト MYADM の第 4 細胞外 領域を 発現している 細胞では、PeV-A3 の VP0 と MYADM との結合が検出された。一方、マウス MYADM の第 4 細胞外 領域を 発現している 細胞では、VP0 と MYADM との結合は検出されなかった(図 $\mathbf{6}$)。これらの 結果は、PeV-A3 の VP0 タンパク質がヒト MYADM の第 4 細胞外領域に結合し、この結合が PeV-A3 の感染に必須 であることを示している。

MYADM は PeV-A1 ~ A6 の感染に必須である

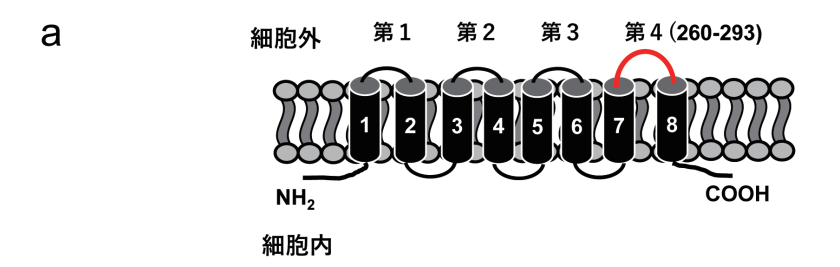
最後に、PeV-A3以外の5種類のPeV-Aの感染におけるMYADMの関与を検討した。PeV-A3と同様に、PeV-A1、A2、A4、A5、A6はBHK(BHK-CONT)細胞には感染しなかったが、ヒト MYADM を発現するBHK(BHK-MYADM)細胞には感染し、感染性ウイルスを産生した。また、これらの5種類のPeV-A はHuTu-80細胞に感染し

たが、MYADM ノックアウト細胞には感染しなかった. これらの結果は、MYADM が PeV-A3 に加えて 5 種類の PeV-A (PeV-A1, A2, A4, A5, A6) の感染に必須であり、 おそらく MYADM はすべての PeV-A 感染に必須である ことを示唆している.

PeV-A の感染モデル

インテグリン α v β 1, α v β 3, α v β 6 が PeV-A1 の受容体であることが報告されている $^{35)}$. α v β 1, α v β 3, α v β 6 を含む 8 つのインテグリンはいずれも,RGD 配列を持つ蛋白質と結合する $^{6)}$. PeV-A1 の VP1 タンパク質の C 末端近傍には RGD 配列があり,VP1 はこの RGD 配列を介して,インテグリンと結合すると考えられる.これらのPeV-A1 の論文では,インテグリンに対する抗体や RGD 配列を含むペプチド(RRRGDL、CRRRGDLC)が,PeV-A1のインテグリンへの結合や細胞への感染を阻害することが示された.これらの結果と,PeV-A3 の MYADM への結合が感染に必須であるという結果からは,少なくとも1つ

pp.183-188, 2023) 187



** * * * * ****** *

L ト MYADM 260 LYQFDEKYGGQPRRSRDVSCSRSHAYY----VCAWDRR 293
マウス MYADM 254 LYQFDQRYQGQPRRSMDPSCTRSISYIQPNTVCFWDRR 291

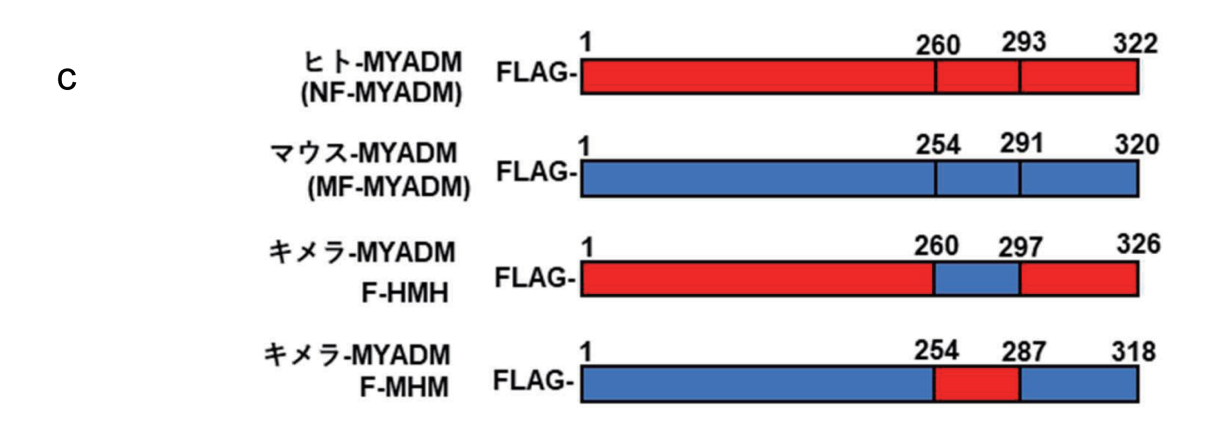


図 5 MYADM の 4番目の細胞外領域は PeV-A3 の感染に必須である

a ヒト MYADM の構造. b ヒトとマウス MYADM の第4細胞外領域のアミノ酸の比較. アステリスク (*) はヒト MYADM とマウス MYADMのアミノ酸配列の違いを示す. c MYADM キメラ蛋白質の構造図. (参考文献2より抜粋・改変)

の仮説が示唆される. PeV-A1 は MYADM とインテグリン $(\alpha \lor \beta 1, \alpha \lor \beta 3, \alpha \lor \beta 6)$ の両方に結合し、インテグリンへの PeV-A1 の結合が MYADM への PeV-A1 の結合を増強し、ウイルスが細胞内へ侵入して感染するという仮説である.

PeV-A1 と 同様 に、PeV-A2、A4、A5、A6の VP1 に は RGD 配列があるが、PeV-A3の VP1 には RGD 配列はない、PeV-A3の VP0 蛋白質は、MYADM 発現の有無に関わらず、BHK 細胞表面の未知の分子に結合する $^{2)}$. この未知の分子は、MYADM への PeV-A3 の結合を増強する分子である可能性がある。今後、PeV-A3 感染の詳細なメカニズムの解明が期待される。

PeV-A3 感染症の動物モデル

ヒトにおける PeV-A3 の病原性を反映した PeV-A3 感染

動物モデルは、PeV-A3 感染の重症化メカニズムの解明に大きな役割を果たすと期待されている。C57BL/6 新生児マウスに PeV-A3 を頭蓋内に接種すると、体重減少、後肢麻痺、死亡が認められ、PeV-A3 VPO 抗体による免疫染色から、マウス脳の海馬と大脳皮質に PeV-A3 が感染していることが示された⁷⁾. 一方、我々の結果では、PeV-A3 はマウス MYADM には結合せず、マウスの細胞には感染しなかったことから(図2、図6)、PeV-A3 は MYADM を介した感染とは異なる感染機構を持つ可能性が示唆される。PeV-A3 感染症の重症化に、MYADM を介した感染メカニズムと MYADM を介さない感染メカニズムがどのように関与しているかが明らかになることが期待される。

おわりに

今回の研究で著者らは、MYADM が PeV-A1 から



図 6 PeV-A3 はヒト MYADM の第 4 細胞外領域に結合し、細胞に感染して増殖する

+/-はPeV-A3の産生の有無またはVP0タンパク質との結合の有無を示す。(参考文献2より抜粋・改変)

PeV-A6の感染に必須のタンパク質であることを証明した. ヒト MYADM を発現するマウスは、PeV-A3 感染症の動物モデルになる可能性が高い.この動物モデルにより、PeV-A3 感染が重症化を引き起こすメカニズムの解明が期待される.

利益相反の開示

本稿に関して、開示すべき利益相反関係にある企業等は ありません.

参考文献

- 1) Tachikawa J, Aizawa Y, Saitoh A.: Severe Disease in Children with Parechovirus-A Infection. Curr Clin Microbiol Rep 10:75–84, 2023.
- 2) Watanabe K, Oka T, Takagi H, Anisimov S, Yamashita S, Katsuragi Y, Takahashi M, Higuchi M, Kanki T, Saitoh A, Fujii M.: Myeloid-associated dif-

- ferentiation marker is an essential host factor for human parechovirus PeV-A3 entry. Nat Commun 14:1817, 2023.
- 3) Triantafilou, K, Triantafilou M, Takada Y, Fernandez N.: Human parechovirus 1 utilizes integrins alphavbeta3 and alphavbeta1 as receptors. J Virol 74:5856–5862, 2000.
- 4) Seitsonen J, Susi P, Heikkilä O, Sinkovits RS, Laurinmäki P, Hyypiä T, Butcher SJ.: Interaction of alphaVbeta3 and alphaVbeta6 integrins with human parechovirus 1. J Virol 84:8509–8519, 2010.
- 5) Merilahti P, Tauriainen S, Susi P.: Human parechovirus 1 infection occurs via α V β 1 integrin. PLoS ONE 11:e0154769, 2016.
- 6) Plow EF, Haas TA. Zhang L, Loftus J. Smith JW.: Ligand binding to integrins. J Biol Chem 275:21785-21788, 2000.
- Jan MW, Su HL, Chang TH, Tsai KJ.: Characterization of Pathogenesis and Inflammatory Responses to Experimental Parechovirus Encephalitis. Front Immunol 12:753683, 2021.